

REGIONE PUGLIA

Provincia di Foggia

COMUNE DI CERIGNOLA

OGGETTO

**PROGETTO PER LA REALIZZAZIONE DI UN IMPIANTO FOTOVOLTAICO
NEL COMUNE DI CERIGNOLA IN LOCALITÀ TOPPORUSSO**

COMMITTENTE

LIGHTSOURCE RENEWABLE ENERGY ITALY SPV 1 S.R.L.

Via Giacomo Leopardi, 7 Milano (MI)
C.F./P.IVA: 11015550962

PROGETTAZIONE

Codice Commessa PHEEDRA: 20_09_PV_CRN



PHEEDRA S.r.l. Via Lago di Nemi, 90
74121 - Taranto
Tel. 099.7722302 - Fax 099.9870285
e-mail: info@pheedra.it
web: www.pheedra.it



SOUTHERNERGY S.r.l. Via del Commercio, 66
72017 - Ostuni (BR)
Tel. 0831.331594
e-mail: info@southenergy.it
web: www.southenergy.it

Dott. Ing. Angelo Micolucci



Dott. Ing. Ilario Morciano



1	Giugno 2020	PRIMA EMISSIONE	CD	AM	VS
REV.	DATA	ATTIVITA'	REDATTO	VERIFICATO	APROVATO

OGGETTO DELL'ELABORATO

RELAZIONE GEOTECNICA

FORMATO	SCALA	CODICE DOCUMENTO					NOME FILE	FOGLI
		SOC.	DISC.	TIPO DOC.	PROG.	REV.		
A4	-	CRN	CIV	REL	007	01	CRN-CIV-REL-007_01	-

Committente LIGHTSOURCE RENEWABLE ENERGY ITALY SPV 1 S.R.L.	PROGETTO PER LA REALIZZAZIONE DI UN IMPIANTO FOTOVOLTAICO NEL COMUNE DI CERIGNOLA IN LOCALITÀ TOPPORUSSO	Nome del file: CRN-CIV-REL-007_01
--	--	---

INDICE

1. PREMESSA.....	2
2. DESCRIZIONE GENERALE DELL'OPERA	2
3. NORMATIVA DI RIFERIMENTO	2
4. INDAGINI E CARATTERIZZAZIONE GEOTECNICA	2
4.1. Prove effettuate e Caratterizzazione geotecnica	3
4.2. Problematiche riscontrate	3
5. MODELLAZIONE GEOTECNICA E PERICOLOSITA' SISMICA DEL SITO	3
5.1. Modellazione geotecnica	4
5.2. Pericolosità sismica.....	4
6. SCELTA TIPOLOGICA DELLE OPERE DI FONDAZIONE	6
7. VERIFICHE DI SICUREZZA	6
7.1. Carico limite fondazioni dirette	7
7.1.1. <u>Fattori correttivi al carico limite in presenza di sisma</u>	10
7.2. Pali infissi	12

Committente LIGHTSOURCE RENEWABLE ENERGY ITALY SPV 10 S.R.L.	PROGETTO PER LA REALIZZAZIONE DI UN IMPIANTO FOTOVOLTAICO NEL COMUNE DI CERIGNOLA IN LOCALITÀ TOPPORUSSO	Nome del file: CRN-CIV-REL-007_01
---	--	---

1.PREMESSA

La presente relazione espone gli aspetti tecnici relativi alla progettazione di un Impianto fotovoltaico per la produzione di energia elettrica da fonte rinnovabile, e la conseguente immissione dell'energia prodotta, attraverso la dedicata rete di connessione, sino alla Rete di Trasmissione Nazionale.

Il progetto riguarda la realizzazione di un impianto fotovoltaico composto da circa 36,926 MW da installare in agro del Comune di Cerignola (FG), in località Topporusso con opere di connessione ricadenti nel territorio del comune limitrofo Ascoli Satriano.

L'impianto fotovoltaico sarà collegato mediante un cavidotto in media tensione interrato alla Stazione Elettrica di Terna SpA, previo innalzamento della tensione a 150 kV mediante sottostazione di trasformazione denominata "Piscioli" da realizzarsi e oggetto del presente progetto che sarà situata nelle vicinanze della SE Terna denominata "Valle" su uno stallo predisposto della SE, così come da preventivo di connessione di Terna SpA codice pratica n. 201800308.

La presente relazione, nel dettaglio, descrive l'impianto e le sue componenti, inquadra il progetto rispetto ai vincoli presenti sul territorio, riporta alcune considerazioni in merito all'impatto acustico ed alla gestione dell'impianto.

2.DESCRIZIONE GENERALE DELL'OPERA

La presente relazione geotecnica riguarda le indagini, la caratterizzazione e modellazione geotecnica del "volume significativo" per l'opera in esame e valuta l'interazione opera/terreno ai fini del dimensionamento delle relative fondazioni.

Questa relazione è stata redatta sulla base dei dati risultanti dalle prove di campagna e/o di laboratorio.

3.NORMATIVA DI RIFERIMENTO

Le fasi di analisi e verifica della struttura sono state condotte in accordo alle seguenti disposizioni normative, per quanto applicabili in relazione al criterio di calcolo adottato dal progettista, evidenziato nel prosieguo della presente relazione:

Legge 5 novembre 1971 n. 1086 (G. U. 21 dicembre 1971 n. 321)

"Norme per la disciplina delle opere di conglomerato cementizio armato, normale e precompresso ed a struttura metallica".

Legge 2 febbraio 1974 n. 64 (G. U. 21 marzo 1974 n. 76)

"Provvedimenti per le costruzioni con particolari prescrizioni per le zone sismiche"

Indicazioni progettuali per le nuove costruzioni in zone sismiche a cura del Ministero per la Ricerca scientifica - Roma 1981.

D. M. Infrastrutture Trasporti 17/01/2018 (G.U. 20/02/2018 n. 42 - Suppl. Ord. n. 8)

"Aggiornamento delle Norme tecniche per le Costruzioni".

Inoltre, in mancanza di specifiche indicazioni, ad integrazione della norma precedente e per quanto con esse non in contrasto, sono state utilizzate le indicazioni contenute nella:

Circolare 21 gennaio 2019, n. 7 C.S.LL.PP. (G.U. Serie Generale n. 35 del 11/02/2019 - Suppl. Ord. n. 5)

Istruzioni per l'applicazione dell'«Aggiornamento delle "Norme tecniche per le costruzioni"» di cui al decreto ministeriale 17 gennaio 2018.

Eurocodice 7 - "Progettazione geotecnica" - EN 1997-1 per quanto non in contrasto con le disposizioni del

D.M. 2018 "Norme Tecniche per le Costruzioni".

4.INDAGINI E CARATTERIZZAZIONE GEOTECNICA

PHEEDRA Srl Servizi di Ingegneria Integrata Via Lago di Nemi, 90 74121 - Taranto (Italy) Tel. +39.099.7722302 - Fax: +39.099.9870285 Email: info@pheedra.it - web: www.pheedra.it	RELAZIONE TECNICA	Pagina 2 di 16
---	--------------------------	----------------

Committente LIGHTSOURCE RENEWABLE ENERGY ITALY SPV 10 S.R.L.	PROGETTO PER LA REALIZZAZIONE DI UN IMPIANTO FOTOVOLTAICO NEL COMUNE DI CERIGNOLA IN LOCALITÀ TOPPORUSSO	Nome del file: CRN-CIV-REL-007_01
---	--	---

Sulla base di quanto dettagliato nella relazione geologica dell'area di sito, si è proceduto alla progettazione della campagna di indagini geognostiche finalizzate alla determinazione delle caratteristiche geotecniche dei terreni interessati dal "volume significativo" dell'opera in esame.

4.1. PROVE EFFETTUATE E CARATTERIZZAZIONE GEOTECNICA

Al fine della determinazione delle caratteristiche geotecniche dei terreni coinvolti nel "volume significativo" dell'opera in esame, sono state condotte delle prove geotecniche, riassunte nella relazione geologica.

Le indagini realizzate hanno permesso di ricostruire le seguenti stratigrafie per ognuna delle quali sono state definite le proprietà geotecniche dei singoli terreni coinvolti.

TERRENI

N _{TRN}	γ _T [N/m ³]	K ₁			φ [°]	c _u [N/mm ²]	c' [N/mm ²]	E _d [N/mm ²]	E _{cu} [N/mm ²]	Terreni
		K _{1X} [N/cm ³]	K _{1Y} [N/cm ³]	K _{1Z} [N/cm ³]						A _{S-B}
Sabbia con ghiaie										
T001	21.700	80	80	300	37	0,000	0,000	188	0	0,000

LEGENDA:

N_{TRN}	Numero identificativo del terreno.
γ_T	Peso specifico del terreno.
K₁	Valori della costante di Winkler riferita alla piastra Standard di lato b = 30 cm nelle direzioni degli assi del riferimento globale X (K _{1X}), Y (K _{1Y}), e Z (K _{1Z}).
φ	Angolo di attrito del terreno.
c_u	Coesione non drenata.
c'	Coesione efficace.
E_d	Modulo edometrico.
E_{cu}	Modulo elastico in condizione non drenate.
A_{S-B}	Parametro "A" di Skempton-Bjerrum per pressioni interstiziali.

NB: Nel caso di fondazioni dirette con stratigrafia, il calcolo del carico limite (q_{lim}) viene fatto su un terreno "equivalente" con parametri geotecnici calcolati come media pesata degli strati compresi tra la quota del piano di posa e la quota della profondità "significativa" (stabilita come "Multiplo della dimensione Significativa della fondazione").

$$\text{Parametro "J"} = \frac{\sum_i^n [\text{Parametro "J"} (\text{strato}, i) \cdot \text{Spessore}(\text{strato}, i)]}{\text{Profondità significativa}}$$

con i = 1, ..., n (numero di strati compresi tra la quota del piano di posa e la quota della profondità significativa).

4.2. PROBLEMATICHE RISCONTRATE

Durante l'esecuzione delle prove e dall'elaborazione dei dati non sono emerse problematiche rilevanti alla realizzazione delle opere di fondazione.

5. MODELLAZIONE GEOTECNICA E PERICOLOSITA' SISMICA DEL SITO

Le indagini effettuate, permettono di classificare il profilo stratigrafico, ai fini della determinazione dell'azione sismica, di categoria:

PHEEDRA Srl Servizi di Ingegneria Integrata Via Lago di Nemi, 90 74121 - Taranto (Italy) Tel. +39.099.7722302 - Fax: +39.099.9870285 Email: info@pheedra.it - web: www.pheedra.it	RELAZIONE TECNICA	Pagina 3 di 16
--	-------------------	----------------

Committente LIGHTSOURCE RENEWABLE ENERGY ITALY SPV 10 S.R.L.	PROGETTO PER LA REALIZZAZIONE DI UN IMPIANTO FOTOVOLTAICO NEL COMUNE DI CERIGNOLA IN LOCALITÀ TOPPORUSSO	Nome del file: CRN-CIV-REL-007_01
---	--	---

C [C - Depositi di terreni a grana grossa mediamente addensati o terreni a grana fina mediamente consistenti] basandosi sulla valutazione della velocità delle onde di taglio (V_{S30}) e/o del numero di colpi dello Standard Penetration Test (N_{SPT}) e/o della resistenza non drenata equivalente ($C_{u,30}$).
 Tutti i parametri che caratterizzano i terreni di fondazione sono riportati nei successivi paragrafi.

5.1. MODELLAZIONE GEOTECNICA

Ai fini del calcolo strutturale, il terreno sottostante l'opera viene modellato secondo lo schema di Winkler, cioè un sistema costituito da un letto di molle elastiche mutuamente indipendenti. Ciò consente di ricavare le rigidità offerte dai manufatti di fondazione, siano queste profonde o superficiali, che sono state introdotte direttamente nel modello strutturale per tener conto dell'interazione opera/terreno.

5.2. PERICOLOSITÀ SISMICA

Ai fini della pericolosità sismica sono stati analizzati i dati relativi alla sismicità dell'area di interesse e ad eventuali effetti di amplificazione stratigrafica e topografica. Si sono tenute in considerazione anche la classe dell'edificio e la vita nominale.

Per tale caratterizzazione si riportano di seguito i dati di pericolosità come da normativa:

DATI GENERALI ANALISI SISMICA

Dati generali analisi sismica											
Ang	NV	CD	MP	Dir	TS	EcA	Ir _{tmp}	C.S.T.	RP	RH	ξ
[°]											[%]
0	-	ND	ac	X Y	- -	S	N	C	SI	SI	5

LEGENDA:

- Ang** Direzione di una componente dell'azione sismica rispetto all'asse X (sistema di riferimento globale); la seconda componente dell'azione sismica e' assunta con direzione ruotata di 90 gradi rispetto alla prima.
- NV** Nel caso di analisi dinamica, indica il numero di modi di vibrazione considerati.
- CD** Classe di duttilità: [A] = Alta - [B] = Media - [ND] = Non Dissipativa - [-] = Nessuna.
- MP** Tipo di struttura sismo-resistente prevalente: [ca] = calcestruzzo armato - [caOld] = calcestruzzo armato esistente - [muOld] = muratura esistente - [muNew] = muratura nuova - [muArm] = muratura armata - [ac] = acciaio.
- Dir** Direzione del sisma.
- TS** Tipologia della struttura:
 Cemento armato: [T 1C] = Telai ad una sola campata - [T+C] = Telai a più campate - [P] = Pareti accoppiate o miste equivalenti a pareti - [2P NC] = Due pareti per direzione non accoppiate - [P NC] = Pareti non accoppiate - [DT] = Deformabili torsionalmente - [PI] = Pendolo inverso - [PM] = Pendolo inverso intelaiate monopiano;
 Muratura: [P] = un solo piano - [PP] = più di un piano - [C-P/MP] = muratura in pietra e/o mattoni pieni - [C-BAS] = muratura in blocchi artificiali con percentuale di foratura > 15%;
 Acciaio: [T 1C] = Telai ad una sola campata - [T+C] = Telai a più campate - [CT] = controventi concentrici diagonale tesa - [CV] = controventi concentrici a V - [M] = mensola o pendolo inverso - [TT] = telaio con tamponature.
- EcA** Eccentricità accidentale: [S] = considerata come condizione di carico statica aggiuntiva - [N] = Considerata come incremento delle sollecitazioni.
- Ir_{tmp}** Per piani con distribuzione dei tamponamenti in pianta fortemente irregolare, l'eccentricità accidentale è stata incrementata di un fattore pari a 2: [SI] = Distribuzione tamponamenti irregolare fortemente - [NO] = Distribuzione tamponamenti regolare.
- C.S.T.** Categoria di sottosuolo: [A] = Ammassi rocciosi affioranti o terreni molto rigidi - [B] = Rocce tenere e depositi di terreni a grana grossa molto addensati o terreni a grana fina molto consistenti - [C] = Depositi di terreni a grana grossa mediamente addensati o terreni a grana fina mediamente consistenti - [D] = Depositi di terreni a grana grossa scarsamente addensati o di terreni a grana fina scarsamente consistenti - [E] = Terreni con caratteristiche e valori di velocità equivalente riconducibili a quelle definite per le categorie C o D.
- RP** Regolarità in pianta: [SI] = Struttura regolare - [NO] = Struttura non regolare.
- RH** Regolarità in altezza: [SI] = Struttura regolare - [NO] = Struttura non regolare.
- ξ** Coefficiente viscoso equivalente.
- NOTE** [-] = Parametro non significativo per il tipo di calcolo effettuato.

DATI GENERALI ANALISI SISMICA - FATTORI DI COMPORTAMENTO

Fattori di comportamento						
Dir	q'	q	q ₀	k _R	α_u/α_1	K _w

PHEEDRA Srl Servizi di Ingegneria Integrata Via Lago di Nemi, 90 74121 - Taranto (Italy) Tel. +39.099.7722302 - Fax: +39.099.9870285 Email: info@pheedra.it - web: www.pheedra.it	RELAZIONE TECNICA	Pagina 4 di 16
--	--------------------------	----------------

Committente LIGHTSOURCE RENEWABLE ENERGY ITALY SPV 10 S.R.L.	PROGETTO PER LA REALIZZAZIONE DI UN IMPIANTO FOTOVOLTAICO NEL COMUNE DI CERIGNOLA IN LOCALITÀ TOPPORUSSO	Nome del file: CRN-CIV-REL-007_01
---	--	---

X	-	1,500	4,00	-	1,00	-
Y	-	1,500	4,00	-	1,00	-
Z	-	1,000	-	-	-	-

LEGENDA:

- q'** Fattore di riduzione dello spettro di risposta sismico allo SLU ridotto (Fattore di comportamento ridotto - relazione C7.3.1 circolare NTC)
- q** Fattore di riduzione dello spettro di risposta sismico allo SLU (Fattore di comportamento).
- q₀** Valore di base (comprensivo di Kw).
- k_R** Fattore riduttivo funzione della regolarità in altezza: pari ad 1 per costruzioni regolari in altezza, 0,8 per costruzioni non regolari in altezza, e 0,75 per costruzioni in muratura esistenti non regolari in altezza (§ C8.5.5.1).
- α_u/α₁** Rapporto di sovrarresistenza.
- K_w** Fattore di riduzione di q₀.

Stato Limite	T _r [t]	a _g /g	Amplif. Stratigrafica		F ₀	T _c [*] [s]	T _B [s]	T _C [s]	T _D [s]
			S _s	C _c					
SLO	30	0,0456	1,500	1,584	2,505	0,287	0,152	0,455	1,782
SLD	50	0,0613	1,500	1,580	2,507	0,290	0,153	0,458	1,845
SLV	475	0,1951	1,407	1,458	2,505	0,370	0,180	0,539	2,380
SLC	975	0,2765	1,308	1,409	2,362	0,410	0,193	0,578	2,706

LEGENDA:

- T_r** Periodo di ritorno dell'azione sismica. [t] = anni.
- a_g/g** Coefficiente di accelerazione al suolo.
- S_s** Coefficienti di Amplificazione Stratigrafica allo SLO/SLD/SLV/SLC.
- C_c** Coefficienti di Amplificazione di T_c allo SLO/SLD/SLV/SLC.
- F₀** Valore massimo del fattore di amplificazione dello spettro in accelerazione orizzontale.
- T_c^{*}** Periodo di inizio del tratto a velocità costante dello spettro in accelerazione orizzontale.
- T_B** Periodo di inizio del tratto accelerazione costante dello spettro di progetto.
- T_C** Periodo di inizio del tratto a velocità costante dello spettro di progetto.
- T_D** Periodo di inizio del tratto a spostamento costante dello spettro di progetto.

CI Ed	V _N [t]	V _R [t]	Lat. [°ssdc]	Long. [°ssdc]	Q _g [m]	CTop	S _T
2	50	50	41.140000	15.780000	245	T1	1,00

LEGENDA:

- CI Ed** Classe dell'edificio
- Lat.** Latitudine geografica del sito.
- Long.** Longitudine geografica del sito.
- Q_g** Altitudine geografica del sito.
- CTop** Categoria topografica (Vedi NOTE).
- S_T** Coefficiente di amplificazione topografica.
- NOTE** [-] = Parametro non significativo per il tipo di calcolo effettuato.
Categoria topografica.
T1: Superficie pianeggiante, pendii e rilievi isolati con inclinazione media $i \leq 15^\circ$.
T2: Pendii con inclinazione media $i > 15^\circ$.
T3: Rilievi con larghezza in cresta molto minore che alla base e inclinazione media $15^\circ \leq i \leq 30^\circ$.
T4: Rilievi con larghezza in cresta molto minore che alla base e inclinazione media $i > 30^\circ$.

Committente LIGHTSOURCE RENEWABLE ENERGY ITALY SPV 10 S.R.L.	PROGETTO PER LA REALIZZAZIONE DI UN IMPIANTO FOTOVOLTAICO NEL COMUNE DI CERIGNOLA IN LOCALITÀ TOPPORUSSO	Nome del file: CRN-CIV-REL-007_01
---	--	---

6.SCELTA TIPOLOGICA DELLE OPERE DI FONDAZIONE

La tipologia delle opere di fondazione è consona alle caratteristiche meccaniche del terreno definite in base ai risultati delle indagini geognostiche.

Nel caso in esame, la struttura di fondazione per le cabine e per il magazzino è costituita da:

- fondazioni dirette.

Mentre per le strutture dei sostegni:

- pali infissi.

7.VERIFICHE DI SICUREZZA

Nelle verifiche allo stato limite ultimo deve essere rispettata la condizione:

$$E_d \leq R_d$$

dove:

- E_d è il valore di progetto dell'azione o dell'effetto dell'azione;
- R_d è il valore di progetto della resistenza del sistema geotecnico.

Le verifiche strutturali e geotecniche delle fondazioni, sono state effettuate con l'**Approccio 2** come definito al §2.6.1 del D.M. 2018, attraverso la combinazione **A1+M1+R3**. Le azioni sono state amplificate tramite i coefficienti della colonna A1 (STR) definiti nella tabella 6.2.I del D.M. 2018.

Tabella 6.2.I - Coefficienti parziali per le azioni o per l'effetto delle azioni [cfr. D.M. 2018]

CARICHI	EFFETTO	Coefficiente parziale γ_F (o γ_E)	A1 (STR)	A2 (GEO)
Carichi permanenti G_1	Favorevole	γ_{G1}	1,00	1,00
	Sfavorevole		1,30	1,00
Carichi permanenti $G_2^{(1)}$	Favorevole	γ_{G2}	0,80	0,80
	Sfavorevole		1,50	1,30
Azioni variabili Q	Favorevole	γ_{Qi}	0,00	0,00
	Sfavorevole		1,50	1,30

⁽¹⁾ Per i carichi permanenti G_2 si applica quanto indicato alla Tabella 2.6.I. Per la spinta delle terre si fa riferimento ai coefficienti γ_{G1}

I valori di resistenza del terreno sono stati ridotti tramite i coefficienti della colonna M1 definiti nella tabella 6.2.II del D.M. 2018.

Tabella 6.2.II - Coefficienti parziali per i parametri geotecnici del terreno [cfr. D.M. 2018]

PARAMETRO GEOTECNICO	Grandezza alla quale applicare il coefficiente parziale	Coefficiente parziale γ_M	M1	M2
Tangente dell'angolo di resistenza a taglio	$\tan\phi_k$	$\gamma_{\phi'}$	1,00	1,25
Coesione efficace	c'_k	γ_c	1,00	1,25
Resistenza non drenata	c_{uk}	γ_{cu}	1,00	1,40
Peso dell'unità di volume	γ_s	γ_γ	1,00	1,00

I valori calcolati delle resistenze totali dell'elemento strutturale sono stati divisi per i coefficienti R3 della tabella 6.4.I del D.M. 2018 per le fondazioni superficiali.

Tabella 6.4.I - Coefficienti parziali γ_R per le verifiche agli stati limite ultimi di fondazioni superficiali.

Verifica	Coefficiente Parziale (R3)
Carico limite	$\gamma_R = 2,3$
Scorrimento	$\gamma_R = 1,1$

Per le varie tipologie di fondazioni sono di seguito elencate le metodologie ed i modelli usati per il calcolo del carico limite ed i risultati di tale calcolo.

Committente LIGHTSOURCE RENEWABLE ENERGY ITALY SPV 10 S.R.L.	PROGETTO PER LA REALIZZAZIONE DI UN IMPIANTO FOTOVOLTAICO NEL COMUNE DI CERIGNOLA IN LOCALITÀ TOPPORUSSO	Nome del file: CRN-CIV-REL-007_01
---	--	---

7.1. CARICO LIMITE FONDAZIONI DIRETTE

La formula del carico limite esprime l'equilibrio fra il carico applicato alla fondazione e la resistenza limite del terreno. Il carico limite è dato dalla seguente espressione:

$$q_{lim} = c \cdot N_c \cdot s_c \cdot d_c \cdot i_c \cdot g_c \cdot b_c \cdot \Psi_c + q \cdot N_q \cdot s_q \cdot d_q \cdot i_q \cdot g_q \cdot b_q \cdot \Psi_q + \frac{B'}{2} \cdot \gamma_f \cdot N_\gamma \cdot s_\gamma \cdot d_\gamma \cdot i_\gamma \cdot g_\gamma \cdot b_\gamma \cdot \Psi_\gamma \cdot r_\gamma$$

in cui:

- c = coesione del terreno al disotto del piano di posa della fondazione;
- q = $\gamma \cdot D$ = pressione geostatica in corrispondenza del piano di posa della fondazione;
- γ = peso unità di volume del terreno al di sopra del piano di posa della fondazione;
- D = profondità del piano di posa della fondazione;
- B' = larghezza ridotta della suola di fondazione (vedi **NB**);
- L = lunghezza della fondazione;
- γ_f = peso unità di volume del terreno al disotto del piano di posa della fondazione;
- N_c, N_q, N_γ = fattori di capacità portante;
- s, d, i, g, b, ψ , r = coefficienti correttivi.

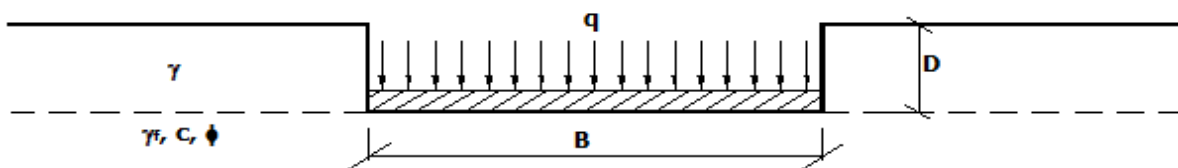
NB: Se la risultante dei carichi verticali è eccentrica, B e L saranno ridotte rispettivamente di:

$$B' = B - 2 \cdot e_B \quad e_B = \text{eccentricità parallela al lato di dimensione B;}$$

$$L' = L - 2 \cdot e_L \quad e_L = \text{eccentricità parallela al lato di dimensione L;}$$

con $B' \leq L'$.

dove:



Calcolo dei fattori N_c, N_q, N_γ

Terreni puramente coesivi ($c \neq 0, \phi = 0$)	Terreni dotati di attrito e coesione ($c \neq 0, \phi \neq 0$)
$N_c = 2 + \pi$	$N_c = (N_q - 1) \cdot \cot \phi$
$N_q = 1$	$N_q = K_p \cdot e^{\pi \cdot \tan \phi}$
$N_\gamma = 0$ se $\omega = 0$ $N_\gamma = -2 \cdot \sin \omega$ se $\omega \neq 0$	$N_\gamma = 2 \cdot (N_q + 1) \cdot \tan \phi$

dove:

$$K_p = \tan^2 \left(45 + \frac{\phi}{2} \right) \text{ è il coefficiente di spinta passiva di Rankine;}$$

ϕ = angolo di attrito del terreno al disotto del piano di posa della fondazione;

ω = angolo di inclinazione del piano campagna.

Calcolo dei fattori di forma s_c, s_q, s_γ

Terreni puramente coesivi ($c \neq 0, \phi = 0$)	Terreni dotati di attrito e coesione ($c \neq 0, \phi \neq 0$)
$s_c = 1 + \frac{B'}{(2 + \pi) \cdot L'}$	$s_c = 1 + \frac{N_q}{N_c} \cdot \frac{B'}{L'}$
$s_q = 1$	$s_q = 1 + \frac{B'}{L'} \cdot \tan \phi$

Committente LIGHTSOURCE RENEWABLE ENERGY ITALY SPV 10 S.R.L.	PROGETTO PER LA REALIZZAZIONE DI UN IMPIANTO FOTOVOLTAICO NEL COMUNE DI CERIGNOLA IN LOCALITÀ TOPPORUSSO	Nome del file: CRN-CIV-REL-007_01
---	--	---

$s_\gamma = 1 - 0.40 \cdot \frac{B'}{L'}$	$s_\gamma = 1 - 0.40 \cdot \frac{B'}{L'}$
---	---

con $B'/L' < 1$.

Calcolo dei fattori di profondità del piano di posa d_c , d_q , d_γ

Si definisce il seguente parametro:

$$K = \frac{D}{B'} \quad \text{se} \quad \frac{D}{B'} \leq 1;$$

$$K = \arctg\left(\frac{D}{B'}\right) \quad \text{se} \quad \frac{D}{B'} > 1.$$

Terreni puramente coesivi ($c \neq 0, \phi = 0$)	Terreni dotati di attrito e coesione ($c \neq 0, \phi \neq 0$)
$d_c = 1 + 0,4 \cdot K$	$d_c = d_q - \frac{1 - d_q}{N_c \cdot \tan \phi}$
$d_q = 1$	$d_q = 1 + 2 \cdot \tan \phi \cdot (1 - \sin \phi)^2 \cdot K$
$d_\gamma = 1$	$d_\gamma = 1$

Calcolo dei fattori di inclinazione del carico i_c , i_q , i_γ

Si definisce il seguente parametro:

$$m = m_B = \frac{2 + B/L}{1 + B/L} \quad \text{se la forza H è parallela alla direzione trasversale della fondazione}$$

$$m = m_L = \frac{2 + L/B}{1 + L/B} \quad \text{se la forza H è parallela alla direzione longitudinale della fondazione}$$

$$m = m_\theta = m_L \cdot \cos^2 \theta + m_B \cdot \sin^2 \theta \quad \text{se la forza H forma un angolo } \theta \text{ con la direzione longitudinale della fondazione}$$

Terreni coesivi ($c \neq 0, \phi = 0$)	Terreni incoerenti ($c = 0, \phi \neq 0$)	Terreni dotati di attrito e coesione ($c \neq 0, \phi \neq 0$)
$i_c = 1 - \frac{m \cdot H}{c \cdot N_c \cdot B \cdot L}$	$i_c = 0$	$i_c = i_q - \frac{1 - i_q}{N_c \cdot \tan \phi}$
$i_q = 1$	$i_q = \left(1 - \frac{H}{V}\right)^m$	$i_q = \left(1 - \frac{H}{V + B \cdot L \cdot c \cdot \cot \phi}\right)^m$
$i_\gamma = 0$	$i_\gamma = \left(1 - \frac{H}{V}\right)^{m+1}$	$i_\gamma = \left(1 - \frac{H}{V + B \cdot L \cdot c \cdot \cot \phi}\right)^{m+1}$

dove:

H = componente orizzontale dei carichi agente sul piano di posa della fondazione;

V = componente verticale dei carichi agente sul piano di posa della fondazione.

Calcolo dei fattori di inclinazione del piano di campagna b_c , b_q , b_γ

Indicando con ω la pendenza del piano campagna, si ha:

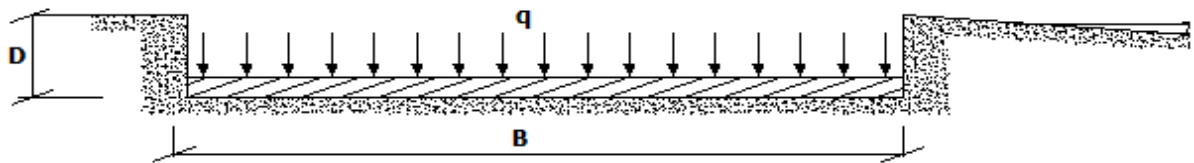
Terreni puramente coesivi ($c \neq 0, \phi = 0$)	Terreni dotati di attrito e coesione ($c \neq 0, \phi \neq 0$)
$b_c = 1 - \frac{2 \cdot \omega}{(2 + \pi)}$	$b_c = b_q - \frac{1 - b_q}{N_c \cdot \tan \phi}$
$b_q = (1 - \tan \omega)^2 \cdot \cos \omega$	$b_q = (1 - \tan \omega)^2 \cdot \cos \omega$
$b_\gamma = b_q / \cos \omega$	$b_\gamma = b_q / \cos \omega$

Per poter applicare tali coefficienti correttivi deve essere verificata la seguente condizione:

$$\omega < \phi; \omega < 45^\circ.$$

PHEEDRA Srl Servizi di Ingegneria Integrata Via Lago di Nemi, 90 74121 - Taranto (Italy) Tel. +39.099.7722302 - Fax: +39.099.9870285 Email: info@pheedra.it - web: www.pheedra.it	RELAZIONE TECNICA	Pagina 8 di 16
---	--------------------------	----------------

Committente LIGHTSOURCE RENEWABLE ENERGY ITALY SPV 10 S.R.L.	PROGETTO PER LA REALIZZAZIONE DI UN IMPIANTO FOTOVOLTAICO NEL COMUNE DI CERIGNOLA IN LOCALITÀ TOPPORUSSO	Nome del file: CRN-CIV-REL-007_01
---	--	---



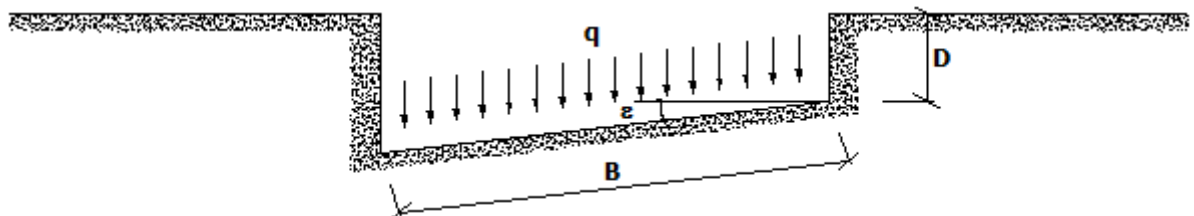
Calcolo dei fattori di inclinazione del piano di posa g_c , g_q , g_γ

Indicando con ε la pendenza del piano di posa della fondazione, si ha:

Terreni puramente coesivi ($c \neq 0, \phi = 0$)	Terreni dotati di attrito e coesione ($c \neq 0, \phi \neq 0$)
$g_c = 1 - \frac{2 \cdot \varepsilon}{(2 + \pi)}$	$g_c = g_q - \frac{1 - g_q}{N_c \cdot \tan \phi}$
$g_q = 1$	$g_q = (1 - \varepsilon \cdot \tan \phi)^2$
$g_\gamma = 1$	$g_\gamma = g_q$

Per poter applicare tali coefficienti correttivi deve essere verificata la seguente condizione:

$$\varepsilon < 45^\circ$$



Calcolo dei fattori di riduzione per rottura a punzonamento ψ_c , ψ_q , ψ_γ

Si definisce l'indice di rigidità del terreno come:

$$I_r = \frac{G}{c + \sigma \cdot \tan \phi}$$

dove:

$$G = \frac{E}{2 \cdot (1 + \nu)}$$

E = modulo elastico del terreno (nei calcoli è utilizzato il modulo edometrico);

ν = modulo di Poisson. Sia in condizioni non drenate che drenate è assunto pari a 0,5 (a vantaggio di sicurezza);

σ = tensione litostatica alla profondità $D + B/2$.

La rottura a punzonamento si verifica quando i coefficienti di punzonamento ψ_c , ψ_q , ψ_γ sono inferiori all'unità; ciò accade quando l'indice di rigidità I_r si mantiene inferiore al valore critico:

$$I_r < I_{r,crit} = \frac{1}{2} \cdot e^{\left[\left(3,3 - 0,45 \frac{B}{L} \right) \cot \left(45 - \frac{\phi}{2} \right) \right]}$$

Terreni puramente coesivi ($c \neq 0, \phi = 0$)	Terreni dotati di attrito e coesione ($c \neq 0, \phi \neq 0$)
$\psi_c = 0,32 + 0,12 \cdot \frac{B'}{L'} + 0,6 \cdot \text{Log}(I_r)$	$\psi_c = \psi_q - \frac{1 - \psi_q}{N_c \cdot \tan \phi}$
$\psi_q = 1$	$\psi_q = e^{\left\{ \left(0,6 \frac{B'}{L'} - 4,4 \right) \tan \phi + \frac{3,07 \cdot \sin \phi \cdot \text{Log}(2 \cdot I_r)}{1 + \sin \phi} \right\}}$
$\psi_\gamma = 1$	$\psi_\gamma = \psi_q$

Committente LIGHTSOURCE RENEWABLE ENERGY ITALY SPV 10 S.R.L.	PROGETTO PER LA REALIZZAZIONE DI UN IMPIANTO FOTOVOLTAICO NEL COMUNE DI CERIGNOLA IN LOCALITÀ TOPPORUSSO	Nome del file: CRN-CIV-REL-007_01
---	--	---

Correzione per fondazione tipo piastra

Bowles, al fine di limitare il contributo del termine "B·N_y", che per valori elevati di B porterebbe ad ottenere valori del carico limite prossimi a quelli di una fondazione profonda, propone il seguente fattore di riduzione r_y:

$$r_y = 1 - 0,25 \cdot \log(B/2) \quad \text{con } B \geq 2 \text{ m}$$

Nella tabella sottostante sono riportati una serie di valori del coefficiente r_y al variare della larghezza dell'elemento di fondazione.

B [m]	2	2.5	3	3.5	4	5	10	20	100
r _y	1,00	0,97	0,95	0,93	0,92	0,90	0,82	0,75	0,57

Questo coefficiente assume particolare importanza per fondazioni larghe con rapporto D/B basso, caso nel quale il termine "B·N_y" è predominante.

Calcolo del carico limite in condizioni non drenate

L'espressione generale del carico limite, valutato in termini di *tensioni totale*, diventa:

$$q_{lim} = c_u \cdot (2 + \pi) \cdot s_c \cdot d_c \cdot i_c \cdot g_c \cdot b_c + q + \frac{B'}{2} \cdot \gamma_{sat} \cdot B' \cdot N_y \cdot s_y \cdot r_y$$

dove:

c_u = coesione non drenata;

γ_{sat} = peso unità di volume del terreno in condizioni di saturazione.

N.B: Nel calcolo in condizioni non drenate (situazione molto rara per un terreno incoerente) si assume, sempre e comunque, che l'angolo di attrito φ sia nullo (φ = 0).

7.1.1. Fattori correttivi al carico limite in presenza di sisma

L'azione del sisma si traduce in accelerazioni nel sottosuolo (**effetto cinematico**) e nella fondazione, per l'azione delle forze d'inerzia generate nella struttura in elevazione (**effetto inerziale**).

Nell'analisi pseudo-statica, modellando l'azione sismica attraverso la sola componente orizzontale, tali effetti possono essere portati in conto mediante l'introduzione di coefficienti sismici rispettivamente denominati **K_{hi}** e **K_{hk}**, il primo definito dal rapporto tra le componenti orizzontale e verticale dei carichi trasmessi in fondazione ed il secondo funzione dell'accelerazione massima attesa al sito.

La formula generale del carico limite si modifica nel seguente modo:

$$q_{lim} = c \cdot N_c \cdot s_c \cdot d_c \cdot i_c \cdot g_c \cdot b_c \cdot \Psi_c \cdot Z_c + q \cdot N_q \cdot s_q \cdot d_q \cdot i_q \cdot g_q \cdot b_q \cdot \Psi_q \cdot Z_q + \frac{B'}{2} \cdot \gamma_f \cdot N_y \cdot s_y \cdot d_y \cdot i_y \cdot g_y \cdot b_y \cdot \Psi_y \cdot r_y \cdot Z_y \cdot C_y$$

in cui, oltre ai termini già precedentemente indicati, si sono introdotti i seguenti termini:

Z_c, Z_q, Z_y = coefficienti correttivi dovuti all'effetto inerziale;

C_y = coefficiente correttivo dovuto all'effetto cinematico.

Calcolo del fattore correttivo dovuto all'effetto cinematico c_y

L'effetto cinematico modifica il solo coefficiente N_y in funzione del coefficiente sismico K_{hk} che è pari a:

$$K_{hk} = \beta_s \cdot S_s \cdot S_T \cdot a_g / g;$$

dove:

β_s = coefficiente di riduzione dell'accelerazione massima attesa al sito;

g = accelerazione di gravità;

S_s = coefficiente di amplificazione stratigrafica;

S_T = coefficiente di amplificazione topografica;

a_g = accelerazione orizzontale massima attesa su sito di riferimento rigido.

I valori di β_s sono riportati nella seguente tabella:

PHEEDRA Srl Servizi di Ingegneria Integrata Via Lago di Nemi, 90 74121 - Taranto (Italy) Tel. +39.099.7722302 - Fax: +39.099.9870285 Email: info@pheedra.it - web: www.pheedra.it	RELAZIONE TECNICA	Pagina 10 di 16
--	-------------------	-----------------

Committente LIGHTSOURCE RENEWABLE ENERGY ITALY SPV 10 S.R.L.	PROGETTO PER LA REALIZZAZIONE DI UN IMPIANTO FOTOVOLTAICO NEL COMUNE DI CERIGNOLA IN LOCALITÀ TOPPORUSSO	Nome del file: CRN-CIV-REL-007_01
---	--	---

	CATEGORIA DI SOTTOSUOLO	
	A	B,C,D,E
	β_s	β_s
$0,2 < a_g(g) \leq 0,4$	0,30	0,28
$0,1 < a_g(g) \leq 0,2$	0,27	0,24
$a_g(g) \leq 0,1$	0,20	0,20

Il fattore correttivo dovuto all'effetto cinematico c_γ è stato, pertanto, determinato con la seguente relazione:

Terreni puramente coesivi ($c \neq 0, \phi = 0$)	Terreni dotati di attrito e coesione ($c \neq 0, \phi \neq 0$)
$c_\gamma = 1$	$c_\gamma = \left(1 - \frac{K_{hk}}{\tan \phi}\right)^{0.45}$ se $\frac{K_{hk}}{\tan \phi} < 1$, altrimenti $c_\gamma = 0$

Calcolo dei fattori correttivi dovuti all'effetto inerziale z_c, z_q, z_γ

L'effetto inerziale produce variazioni di tutti i coefficienti di capacità portante del carico limite in funzione del coefficiente sismico K_{hi} .

Tali effetti correttivi vengono valutati con la teoria di **Paolucci - Pecker** attraverso le seguenti relazioni:

Terreni puramente coesivi ($c \neq 0, \phi = 0$)	Terreni dotati di attrito e coesione ($c \neq 0, \phi \neq 0$)
$Z_c = Z_q = Z_\gamma = 1$	$Z_c = 1 - 0,32 \cdot K_{hi}$ se $Z_c > 0$ altrimenti $Z_c = 0$
	$z_\gamma = z_q = \left(1 - \frac{K_{hi}}{\tan \phi}\right)^{0.35}$ se $\frac{K_{hi}}{\tan \phi} < 1$ altrimenti $z_\gamma = z_q = 0$

dove:

K_{hi} è ricavato dallo spettro di progetto allo SLV attraverso la relazione:

$$K_{hi} = S_S \cdot S_T \cdot a_g / g;$$

i cui termini sono stati precedentemente precisati.

Si fa notare che il coefficiente sismico K_{hi} coincide con l'ordinata dello spettro di progetto allo SLU per $T = 0$ ed è indipendente dalle combinazioni di carico.

Verifiche nei confronti degli stati limite ultimi (SLU)

Di seguito si riporta una tabella riepilogativa relativa alla verifica dello stato limite di collasso per carico limite dell'insieme fondazione-terreno.

Si precisa che il valore relativo alla colonna $Q_{d,Rd}$, di cui nella tabella seguente, è da intendersi come il valore di progetto della resistenza R_d , ossia il rapporto fra il carico limite q_{lim} (calcolato come sopra esposto) ed il valore del coefficiente parziale di sicurezza γ_R relativo alla capacità portante del complesso terreno-fondazione, in relazione all'approccio utilizzato. Nel caso in esame il coefficiente parziale di sicurezza γ_R è stato assunto pari a 2,3 (tabella 6.4.I del D.M. 2018).

Si precisa che, nella sottostante tabella:

- la coppia Q_{Ed} e $Q_{d,Rd}$ è relativa alla combinazione di carico, fra tutte quelle esaminate, che da luogo al minimo coefficiente di sicurezza (CS);
- nelle colonne "per N_q , per N_c e per N_γ ", relative ai "Coef. Cor. Terzaghi", viene riportato il prodotto tra i vari coefficienti correttivi presenti nell'espressione generale del carico limite. Ad esempio si è posto:

$$\text{Coef. Cor. Terzaghi per } N_q = s_q \cdot d_q \cdot i_q \cdot g_q \cdot b_q \cdot \psi_{q,z_q}$$

$$\text{Coef. Cor. Terzaghi per } N_c = s_c \cdot d_c \cdot i_c \cdot g_c \cdot b_c \cdot \psi_{c,z_c}$$

$$\text{Coef. Cor. Terzaghi per } N_\gamma = s_\gamma \cdot d_\gamma \cdot i_\gamma \cdot g_\gamma \cdot b_\gamma \cdot \psi_{\gamma,r_\gamma} \cdot z_\gamma \cdot c_\gamma$$

VERIFICHE CARICO LIMITE FONDAZIONI DIRETTE ALLO SLU

PHEEDRA Srl Servizi di Ingegneria Integrata Via Lago di Nemi, 90 74121 - Taranto (Italy) Tel. +39.099.7722302 - Fax: +39.099.9870285 Email: info@pheedra.it - web: www.pheedra.it	RELAZIONE TECNICA	Pagina 11 di 16
---	--------------------------	-----------------

Committente LIGHTSOURCE RENEWABLE ENERGY ITALY SPV 10 S.R.L.	PROGETTO PER LA REALIZZAZIONE DI UN IMPIANTO FOTOVOLTAICO NEL COMUNE DI CERIGNOLA IN LOCALITÀ TOPPORUSSO	Nome del file: CRN-CIV-REL-007_01
---	--	---

Verifiche Carico Limite fondazioni dirette allo SLU

Id _{Fnd}	CS	L _X	L _Y	R _{tz}	Z _{P.cmp}	Z _{Fld}	Cmp T	C. Terzaghi						Q _{Ed}	Q _{Rd}	R _f
								per N _q	per N _c	per N _γ	N _q	N _c	N _γ			
		[m]	[m]	[°]	[m]	[m]							[N/mm ²]	[N/mm ²]		
Platea 1	65,15	10,00	5,00	0,00	0,65	-	NON Coesivo	1,42	0,00	0,72	42,92	55,63	66,19	0,023	1,498	NO
Platea 2	67,74	15,00	5,00	0,00	0,65	-	NON Coesivo	1,29	0,00	0,78	42,92	55,63	66,19	0,023	1,558	NO
Platea 3	87,19	15,00	10,00	0,00	0,65	-	NON Coesivo	1,52	0,00	0,60	42,92	55,63	66,19	0,026	2,277	NO

LEGENDA:

Id_{Fnd} Descrizione dell'oggetto di fondazione al quale è riferita la verifica.
CS Coefficiente di sicurezza ([NS] = Non Significativo se CS ≥ 100; [VNR]= Verifica Non Richiesta; Informazioni aggiuntive sulla condizione: [V] = statica; [E] = eccezionale; [S] = sismica; [N] = sismica non lineare).
L_{X/Y} Dimensioni dell'elemento di fondazione.
R_{tz} Angolo compreso tra l'asse X e il lato più lungo del minimo rettangolo che delimita il poligono della platea.
Z_{P.cmp} Profondità di posa dell'elemento di fondazione dal piano campagna.
Z_{Fld} Profondità della falda dal piano campagna.
Cmp T Classificazione del comportamento del terreno ai fini del calcolo.
C. Coefficienti correttivi per la formula di Terzaghi.
Terzaghi
hi
Q_{Ed} Carico di progetto sul terreno.
Q_{Rd} Resistenza di progetto del terreno.
R_f [SI] = elemento con presenza di rinforzo; [NO] = elemento senza rinforzo.

VERIFICHE CARICO LIMITE FONDAZIONI DIRETTE ALLO SLD

Verifiche Carico Limite fondazioni dirette allo SLD

Id _{Fnd}	CS	L _X	L _Y	R _{tz}	Z _{P.cmp}	Z _{Fld}	Cmp T	C. Terzaghi						Q _{Ed}	Q _{Rd}	R _f
								per N _q	per N _c	per N _γ	N _q	N _c	N _γ			
		[m]	[m]	[°]	[m]	[m]							[N/mm ²]	[N/mm ²]		
Platea 1	NS	10,00	5,00	0,00	0,65	-	NON Coesivo	1,36	0,00	0,68	42,92	55,63	66,19	0,016	1,814	NO
Platea 2	NS	15,00	5,00	0,00	0,65	-	NON Coesivo	1,23	0,00	0,74	42,92	55,63	66,19	0,016	1,886	NO
Platea 3	NS	15,00	10,00	0,00	0,65	-	NON Coesivo	1,46	0,00	0,57	42,92	55,63	66,19	0,018	2,770	NO

LEGENDA:

Id_{Fnd} Descrizione dell'oggetto di fondazione al quale è riferita la verifica.
CS Coefficiente di sicurezza ([NS] = Non Significativo se CS ≥ 100; [VNR]= Verifica Non Richiesta; Informazioni aggiuntive sulla condizione: [V] = statica; [E] = eccezionale; [S] = sismica; [N] = sismica non lineare).
L_{X/Y} Dimensioni dell'elemento di fondazione.
R_{tz} Angolo compreso tra l'asse X e il lato più lungo del minimo rettangolo che delimita il poligono della platea.
Z_{P.cmp} Profondità di posa dell'elemento di fondazione dal piano campagna.
Z_{Fld} Profondità della falda dal piano campagna.
Cmp T Classificazione del comportamento del terreno ai fini del calcolo.
C. Coefficienti correttivi per la formula di Terzaghi.
Terzaghi
hi
Q_{Ed} Carico di progetto sul terreno.
Q_{Rd} Resistenza di progetto del terreno.
R_f [SI] = elemento con presenza di rinforzo; [NO] = elemento senza rinforzo.

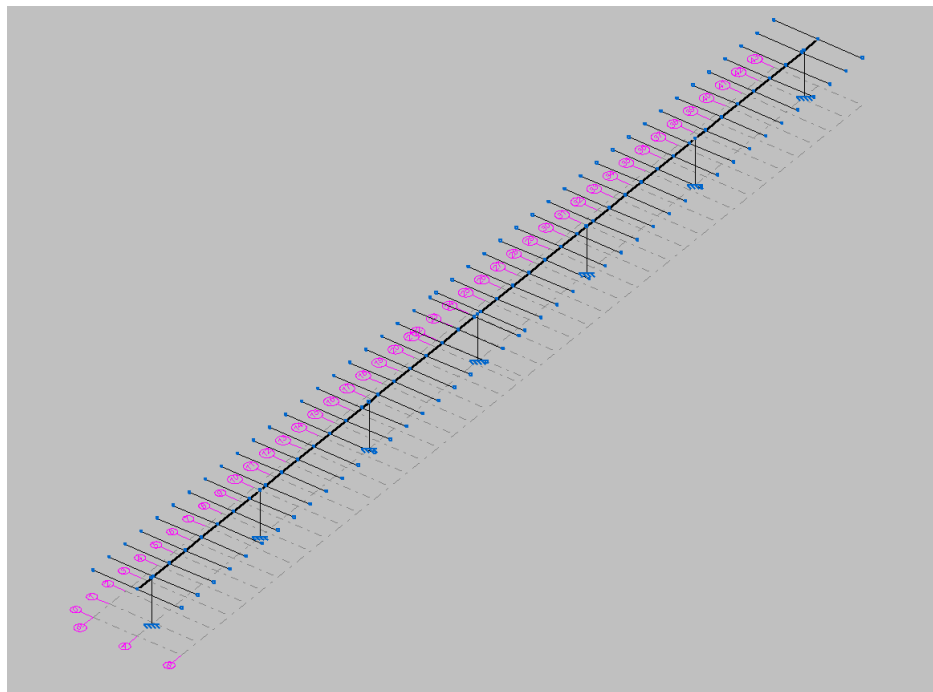
7.2. PALI INFISSI

I carichi agenti, valutati come scarico in fondazione delle strutture in sopraelevazione a sostegno dei pannelli

PHEEDRA Srl Servizi di Ingegneria Integrata Via Lago di Nemi, 90 74121 – Taranto (Italy) Tel. +39.099.7722302 – Fax: +39.099.9870285 Email: info@pheedra.it – web: www.pheedra.it	RELAZIONE TECNICA	Pagina 12 di 16
---	--------------------------	-----------------

Committente LIGHTSOURCE RENEWABLE ENERGY ITALY SPV 10 S.R.L.	PROGETTO PER LA REALIZZAZIONE DI UN IMPIANTO FOTOVOLTAICO NEL COMUNE DI CERIGNOLA IN LOCALITÀ TOPPORUSSO	Nome del file: CRN-CIV-REL-007_01
---	--	---

fotovoltaici, sono stati desunti dalle schede tecniche del produttore e da quanto riportato nei relativi elaborati di dettaglio. Per la presente analisi sono state considerate le combinazioni più gravose, ovvero quelle che consentissero di valutare sia il massimo sforzo normale di trazione e compressione e sia il massimo momento in fondazione.



Il dimensionamento è stato condotto applicando tre combinazioni di carico, una per massimizzare l'effetto delle sollecitazioni di compressione e momento sull'opera di fondazione e due per massimizzano le sollecitazioni di trazione.

Nelle verifiche di sicurezza devono essere presi in considerazione tutti i meccanismi di stato limite ultimo, sia a breve sia a lungo termine. Gli stati limite ultimi delle fondazioni su pali si riferiscono allo sviluppo di meccanismi di collasso determinati dalla mobilitazione della resistenza del terreno e al raggiungimento della resistenza degli elementi strutturali che compongono la fondazione stessa.

Le verifiche delle fondazioni indirette devono essere effettuate con riferimento almeno ai seguenti stati limite, accertando che la condizione per cui $Ed < Rd$ sia soddisfatta per ogni stato limite considerato:

- SLU di tipo geotecnico (GEO)
 - collasso per carico limite della palificata nei riguardi dei carichi assiali;
 - collasso per carico limite della palifica nei riguardi dei carichi trasversali;
 - collasso per carico limite di sfilamento nei riguardi dei carichi assiali di trazione;
 - stabilità globale.

Nel caso specifico la NTC 17/01/2018 prescrive che:

- la verifica di stabilità globale deve essere effettuata secondo la Combinazione 2 (A2+M2+R2) dell'Approccio 1 tenendo conto dei coefficienti parziali riportati nelle tabelle 6.2.I e 6.2.II per le azioni e parametri geotecnici, e nella tabella 6.8.I per le resistenze globali.
- Le rimanenti verifiche devono essere effettuate secondo l'Approccio 2, con la combinazione (A1+M1+R3), tenendo conto dei valori dei coefficienti parziali riportati nelle tabelle 6.2.I, 6.2.II, 6.4.II e 6.4.VI.

Lo studio geologico dell'area in oggetto ha condotto alla progettazione di strutture di fondazione da realizzarsi con micropali in acciaio, infissi o trivellati con lunghezza variabile fino ai 3.0 m.

PHEEDRA Srl Servizi di Ingegneria Integrata Via Lago di Nemi, 90 74121 – Taranto (Italy) Tel. +39.099.7722302 – Fax: +39.099.9870285 Email: info@pheedra.it – web: www.pheedra.it	RELAZIONE TECNICA	Pagina 13 di 16
---	--------------------------	-----------------

Committente LIGHTSOURCE RENEWABLE ENERGY ITALY SPV 10 S.R.L.	PROGETTO PER LA REALIZZAZIONE DI UN IMPIANTO FOTOVOLTAICO NEL COMUNE DI CERIGNOLA IN LOCALITÀ TOPPORUSSO	Nome del file: CRN-CIV-REL-007_01
---	--	---

I micropali frutto della progettazione, sono da realizzarsi con profilati metallici IPE240 con lunghezza di infissione variabile a seconda dei diversi modelli geotecnici con i quali le diverse aree di impianto sono state caratterizzate. In funzione delle stratigrafie, provenienti dallo studio geologico condotto ed allegato al presente progetto, sarà talvolta necessaria la predisposizione di pali trivellati in luogo di quelli infissi.

La capacità portante di un palo viene valutata come somma di due contributi: portata di base (o di punta) e portata per attrito laterale lungo il fusto. Cioè si assume valida l'espressione:

$$Q_T = Q_P + Q_L - W_P$$

dove:

QT =portanza totale del palo;

QP =portanza di base del palo;

QL=portanza per attrito laterale del palo;

WP = peso proprio del palo,

Le due componenti QP e QL sono calcolate in modo indipendente fra loro. La portanza limite per ciascun micropalo è calcolata in base alle caratteristiche geotecniche dei vari strati attraversati. Secondo quanto previsto al punto 6.4.3.1.1 del D:M. 17/01/2018, a partire dal valore così calcolato della portanza Qt si ricava il valore caratteristico, dividendo Qt per i coefficienti ξ_3 e ξ_4 , per la determinazione della resistenza caratteristica in funzione del numero di verticali indagate, riportati alla tabella 6.4 IV delle NTC2018.

Il valore di progetto così determinato della capacità portante deve risultare non minore del valore caratteristico ottenuto dal calcolo.

La portanza per attrito laterale viene calcolata tramite la relazione:

$$Q_L = \pi \cdot \int_0^L D \tau_s dl$$

Rappresentando τ_s le tensioni tangenziali che si mobilitano all'interfaccia palo terreno e D il diametro del palo. La portanza di base del palo è calcolata come:

$$Q_P = qb^* Ab$$

Dove qb esprime il valore ultimo della pressione alla base.

Tuttavia, è noto che il carico limite verticale di pali di piccolo diametro immersi in terreni omogenei dipende in maggiore misura dalla resistenza allo scorrimento che si mobilita lungo il fusto; la resistenza teorica alla punta è, infatti, penalizzata per il fatto che essa si mobilita solo a seguito di cedimenti elevati, dell'ordine del 10% del diametro del palo.

Nel caso di pali di piccolo diametro, inoltre, la resistenza alla punta assume valori trascurabili per il basso rapporto fra la superficie della punta e quella laterale.

Pertanto, trascurando la resistenza alla punta, il valore del carico limite verticale del palo di piccolo diametro è pari a quello della resistenza laterale.

In aggiunta, considerando quanto previsto al punto 6.4.3.1.1 del D:M. 17/01/2018, a partire dal valore così calcolato di Qlim si ricava il valore caratteristico, dividendo tale valore per i coefficienti ζ funzione del numero di verticali indagate, e per il coefficiente γ_R riportati nella tabella 6.4.II delle NTC.

Dai calcoli preliminari eseguiti risulta che i pali possono essere soggetti a sforzi di trazione abbastanza modesti, in parte compensati dal peso proprio del palo.

In ogni caso anche trascurando tale effetto, tenuto conto che la resistenza allo sfilamento del palo è, secondo quanto presente in letteratura, prossima al 50% della resistenza laterale si ha un risultato positivo della verifica come riportato negli appositi tabulati nei paragrafi a seguire.

Il carico limite verticale è stato calcolato con le formule statiche, che esprimono il medesimo in funzione della geometria del palo, delle caratteristiche del terreno e dell'interfaccia palo-terreno.

A riguardo, poiché la realizzazione di un palo, sia esso infisso o trivellato, modifica sempre le caratteristiche del

PHEEDRA Srl Servizi di Ingegneria Integrata Via Lago di Nemi, 90 74121 – Taranto (Italy) Tel. +39.099.7722302 – Fax: +39.099.9870285 Email: info@pheedra.it – web: www.pheedra.it	RELAZIONE TECNICA	Pagina 14 di 16
---	--------------------------	-----------------

Committente LIGHTSOURCE RENEWABLE ENERGY ITALY SPV 10 S.R.L.	PROGETTO PER LA REALIZZAZIONE DI UN IMPIANTO FOTOVOLTAICO NEL COMUNE DI CERIGNOLA IN LOCALITÀ TOPPORUSSO	Nome del file: CRN-CIV-REL-007_01
---	--	---

terreno nell'intorno dello stesso, si propone di assumere un angolo di resistenza a taglio pari a:

$$\phi' = \frac{3}{4}\phi + 10^\circ \text{ nei pali infissi}$$

$$\phi' = \phi - 3^\circ \text{ nei pali trivellati}$$

dove Φ è l'angolo di resistenza a taglio prima dell'esecuzione del palo. Di seguito indicheremo con Φ il parametro di resistenza scelto. Ai fini del calcolo, il carico limite Q_{lim} viene convenzionalmente suddiviso in due aliquote, la resistenza alla punta Q_p e la resistenza laterale Q_l .

Il metodo utilizzato per il calcolo della capacità portante laterale è il metodo α , proposto da Tomlinson (1971); la resistenza laterale viene calcolata nel seguente modo.

$$Q_l = (\alpha c + \sigma K \tan \delta) A_l f_w$$

- A_l superficie laterale del palo;
- f_w , fattore di correzione legato alla tronco-conicità del palo, ossia la diminuzione percentuale del diametro del palo con:
- c , valore medio della coesione (o della resistenza a taglio in condizioni non drenate);
- σ pressione efficace verticale del terreno;
- K coefficiente di spinta orizzontale, dipendente dalla tecnologia di esecuzione del palo e dal precedente stato di addensamento, viene calcolato come segue:
- δ = attrito palo-terreno funzione della scabrezza della superficie del palo;
- α = coefficiente d'adesione

La resistenza alla punta del palo invece è ricavata adottando la soluzione proposta da Terzaghi che assume come il terreno esistente al disopra della profondità raggiunta dalla punta del palo possa essere sostituito da un sovraccarico equivalente pari alla tensione verticale efficace (trascurando pertanto il fatto che l'interazione tra palo e terreno di fondazione possa modificare tale valore) e riconduce l'analisi al problema di capacità portante di una fondazione superficiale. La formula di Terzaghi può essere scritta

$$Q_p = c \cdot N_c \cdot s_c + \gamma \cdot L \cdot N_q + 0.5 \cdot \gamma \cdot D \cdot N_\gamma \cdot s_\gamma$$

Dove:

$$N_q = \frac{a^2}{2 \cos^2(45 + \phi/2)}$$

$$a = e^{(0.75\pi - \phi/2) \tan \phi}$$

$$N_c = (N_q - 1) \cot \phi$$

$$N_\gamma = \frac{\tan \phi}{2} \left(\frac{K_p \gamma}{\cos^2 \phi} - 1 \right)$$

Schemi di calcolo adottati:

PHEEDRA Srl Servizi di Ingegneria Integrata Via Lago di Nemi, 90 74121 - Taranto (Italy) Tel. +39.099.7722302 - Fax: +39.099.9870285 Email: info@pheedra.it - web: www.pheedra.it	RELAZIONE TECNICA	Pagina 15 di 16
---	--------------------------	-----------------

